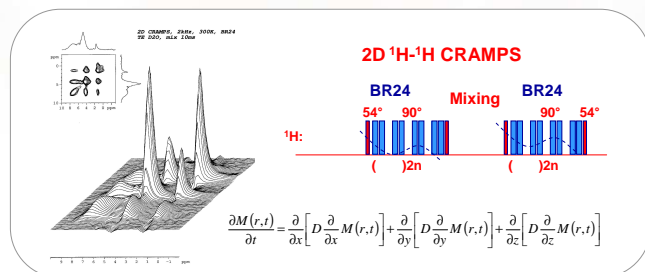


Institute of Macromolecular
Chemistry AS CR
Heyrovský Sq. 2
162 06 Praha 6
Czech Republ.

Homonukleární ^1H - ^1H korelační experimenty



Objev více-rozměrné NMR spektroskopie (1971)

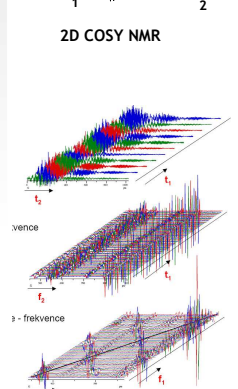
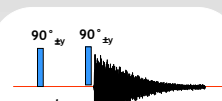
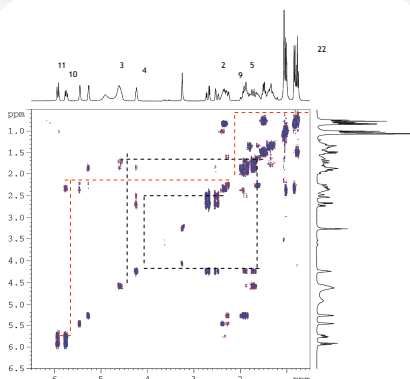
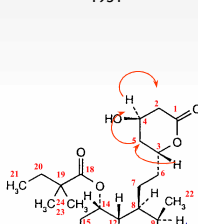


Přenos magnetizace přes vazebné elektronny
(konektivita řetězce)

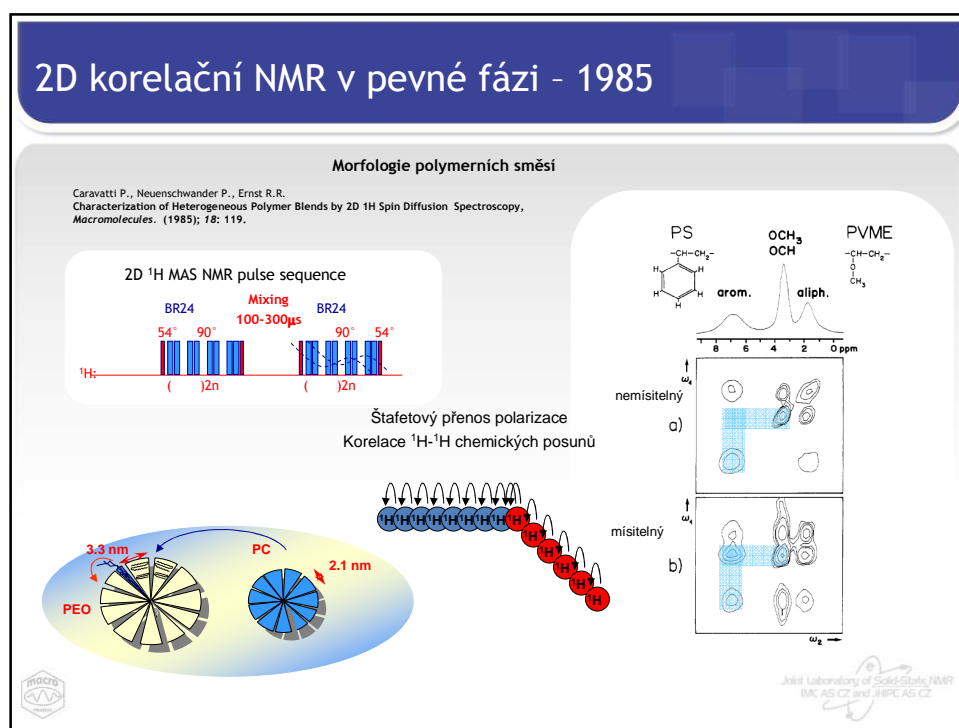
Přednáška na letní škole v Baško Polje, Jugoslávie, 1971
Dvoudimenzionální NMR, COSY

Aue W.P., Bartholdi E., Ernst R.R.
2D Spectroscopy. Application to NMR, J. Chem. Phys. (1976); 64: 229.

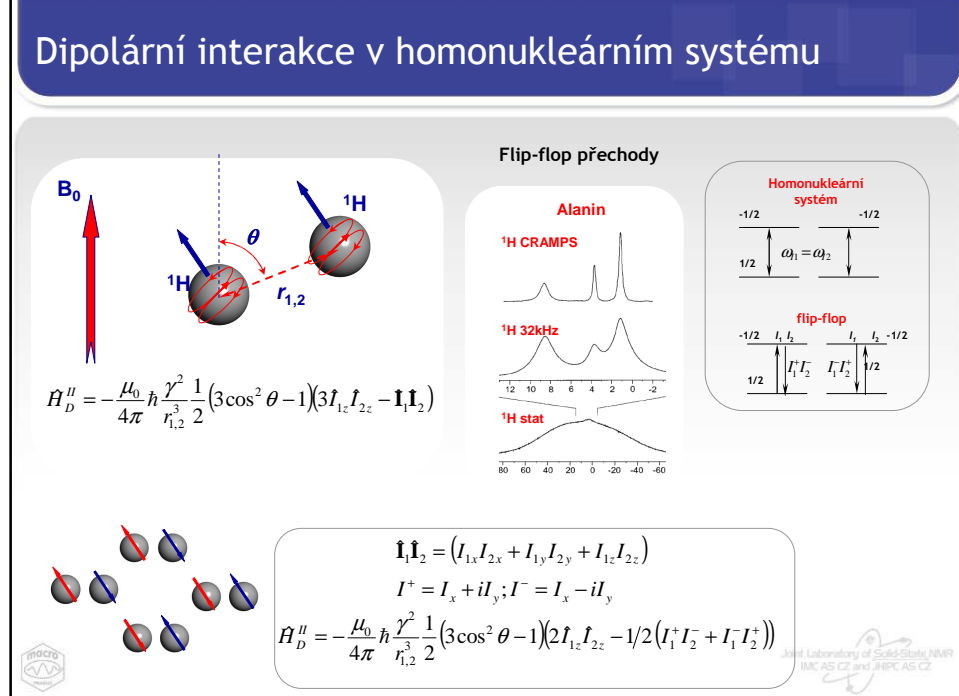
Jean Luis Charles Jeener
*1931



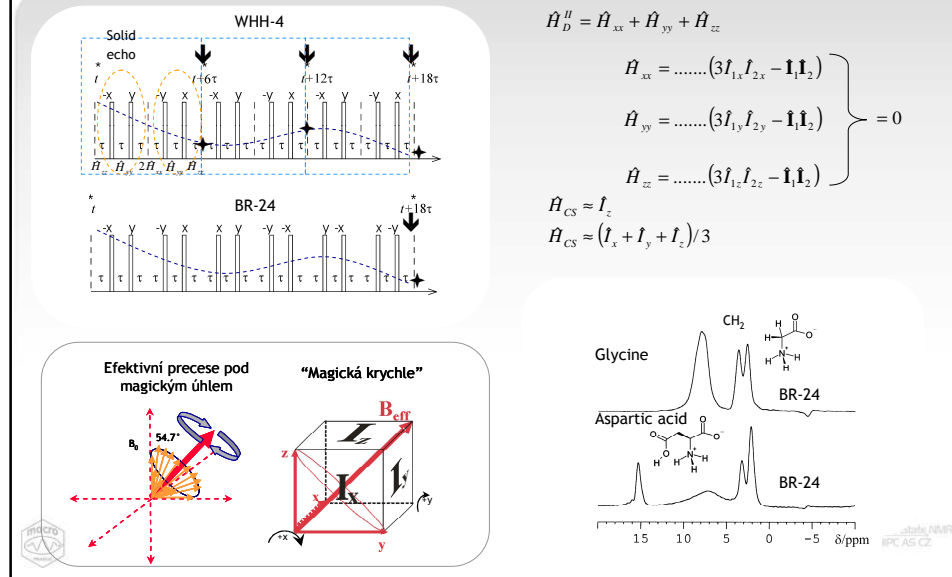
2D korelační NMR v pevné fázi - 1985



Dipolární interakce v homonukleárném systému



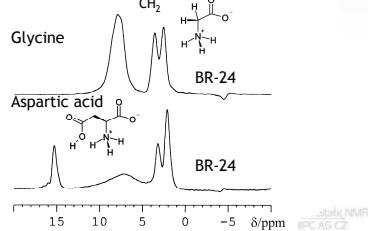
Multipulsní homodekoplínk - 1968



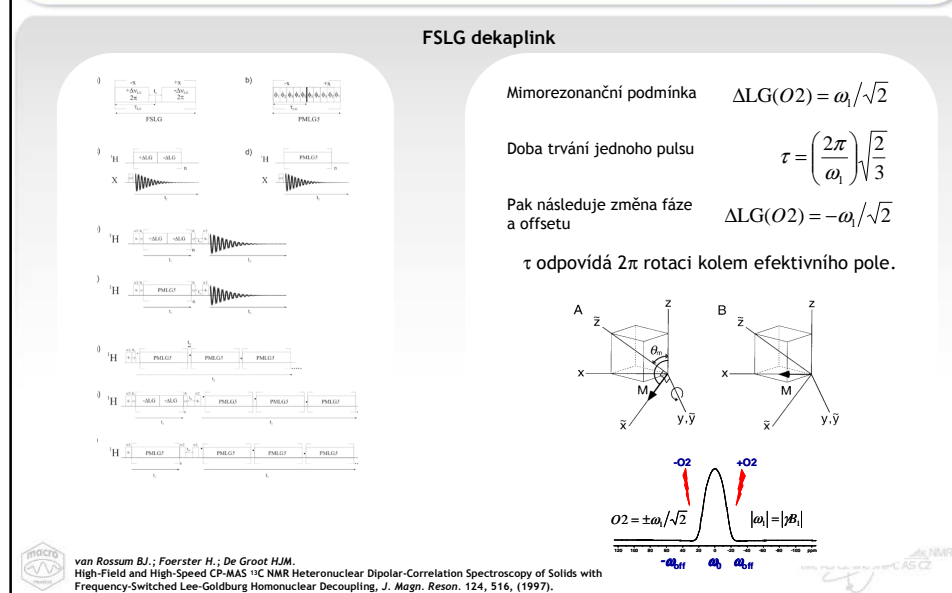
$$\begin{aligned} \hat{H}_D^H &= \hat{H}_{xx} + \hat{H}_{yy} + \hat{H}_{zz} \\ \hat{H}_{xx} &= \dots \dots (3\hat{I}_{1x}\hat{I}_{2x} - \hat{\mathbf{I}}_1\hat{\mathbf{I}}_2) \\ \hat{H}_{yy} &= \dots \dots (3\hat{I}_{1y}\hat{I}_{2y} - \hat{\mathbf{I}}_1\hat{\mathbf{I}}_2) \\ \hat{H}_{zz} &= \dots \dots (3\hat{I}_{1z}\hat{I}_{2z} - \hat{\mathbf{I}}_1\hat{\mathbf{I}}_2) \end{aligned} \quad \left. \right\} = 0$$

$$\hat{H}_{CS} = \hat{I}_z$$

$$\hat{H}_{CS} = (\hat{I}_x + \hat{I}_y + \hat{I}_z)/3$$

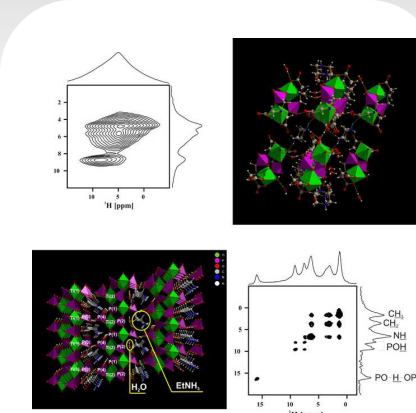
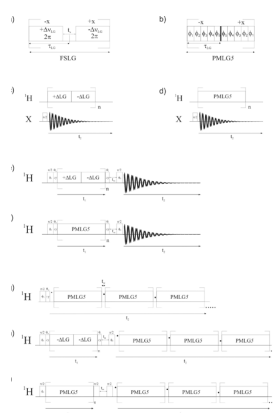


Kontinuální homodekoplínk



van Rossum B.J.; Foerster H.; De Groot H.J.M.
High-Field and High-Speed CP-MAS ^{13}C NMR Heteronuclear Dipolar-Correlation Spectroscopy of Solids with Frequency-Switched Lee-Goldburg Homonuclear Decoupling, *J. Magn. Reson.* 124, 516, (1997).

Kontinuální homodekaplink při vysokých rotacích



<http://dx.doi.org/10.1016/j.cplett.2008.10.029>

<http://dx.doi.org/10.1016/j.jmr.2008.07.019>

Joint Laboratory of Solid-State NMR
IICAS CZ and JIPPC AS CZ

Kontinuální homodekaplink

Fázově modulovaný Lee-Goldburgův experiment

Fázová modulace

$$\phi(t) = \omega_{PMLG} t$$

$$|\omega_{PMLG}| = \omega_1 / \sqrt{2}$$

Doba trvání LG cyklu

$$t_{LG} = \sqrt{(2/3)}(2\pi/\omega_1)$$

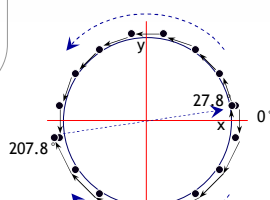
Celková fázová změna během jednoho LG cyklu

$$\alpha_{LG} = |\omega_{PMLG}| t_{LG} = 207.8^\circ$$

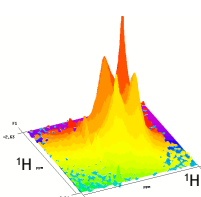
„On-resonance“ experiment



Trajektorie rf pole během cyklu PMLG-9



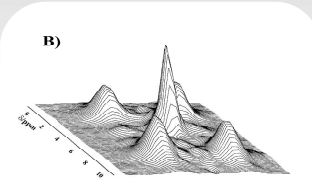
$^{1}\text{H}-^{1}\text{H}$ PMLG w-PMLG



Joint Laboratory of Solid-State NMR
IICAS CZ and JIPPC AS CZ

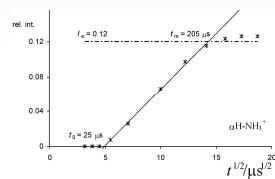
¹H-¹H Spinová výměna (difuse)

Výběr a přenos magnetizace



$$\text{Rychlosť spinovej výmeny: } \frac{\partial M(r,t)}{\partial t} = \frac{\partial}{\partial x} \left[D \frac{\partial}{\partial x} M(r,t) \right] + \frac{\partial}{\partial y} \left[D \frac{\partial}{\partial y} M(r,t) \right] + \frac{\partial}{\partial z} \left[D \frac{\partial}{\partial z} M(r,t) \right]$$

$$d_A = 2 \frac{\varepsilon}{f_p} \left(\frac{1}{\pi} D t_m^s \right)^{1/2}$$



Stanovení spin-difusního koeficientu z pološířky:

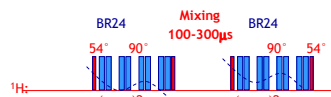
$$D_{rig} = \frac{1}{12} \sqrt{\frac{\pi}{2 \ln 2}} \langle r^2 \rangle \Delta V_{1/2} \quad D_{mob} = \frac{1}{6} \langle r^2 \rangle [\alpha \Delta V_{1/2}]^{1/2}$$

$$D_{\text{mob}} \equiv 8.2 \times 10^{-6} T_2^{-1} + 0.007 \quad D_{\text{mob}} \equiv 4.4 \times 10^{-5} T_2^{-1} + 0.26$$

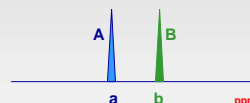


Spinová difuze - koherentní přenos magnetizace

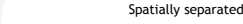
2D ^1H MAS NMR pulse sequence



A general two-component system in 1D spectra



A general two-component system in 2D spectra



Only diagonal signals are detected
no polarization transfer occurs

a **b** ppm
Weak off-diagonal signals are detected
- small portion of polarization was transferred from A to B

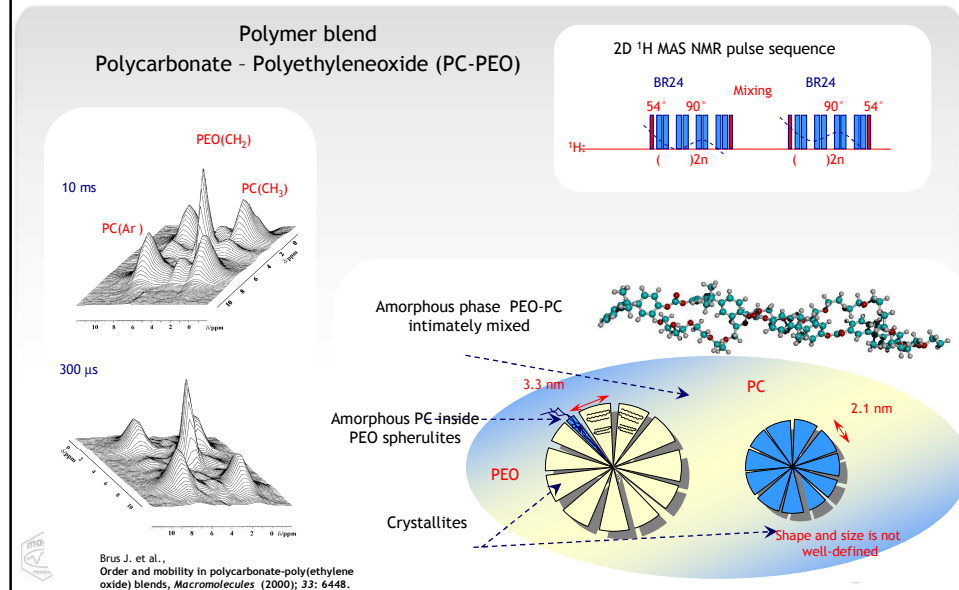
Well mixed

Figure 1. A 3D visualization of the molecular structures.

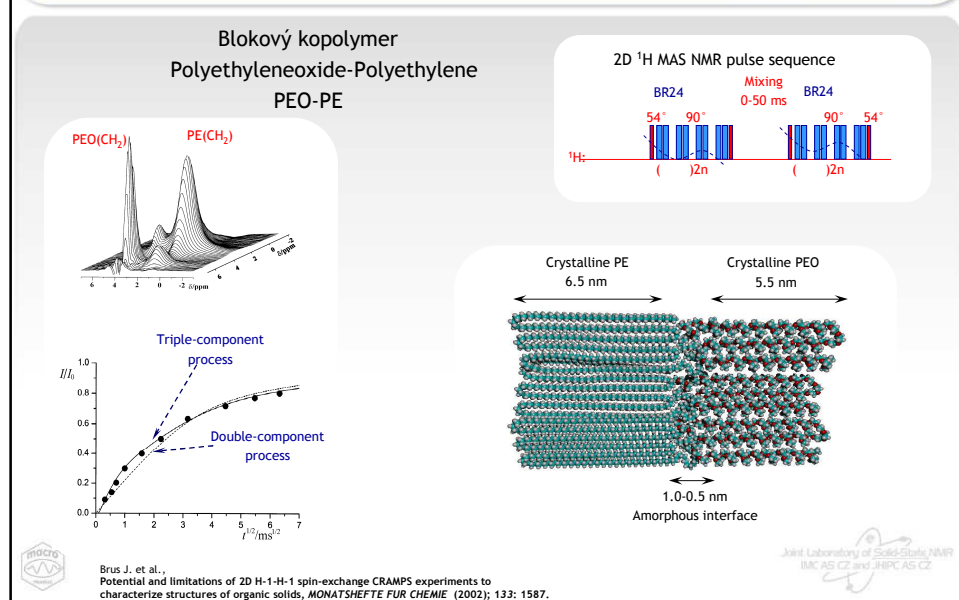
Strong off-diagonal signals are detected
-polarization was completely
transferred from A to B



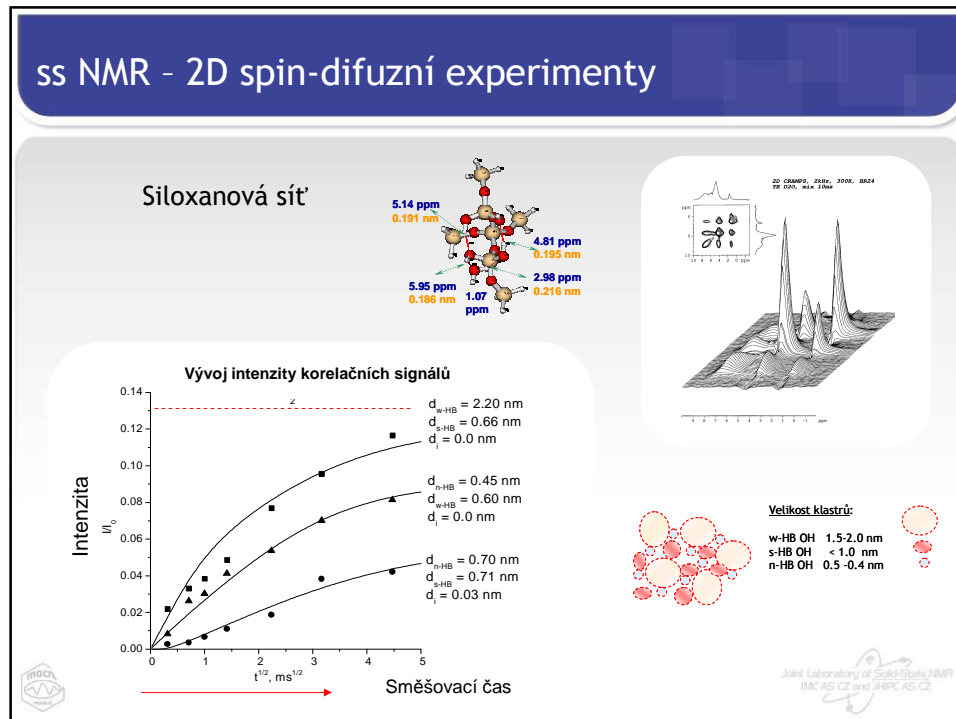
ss NMR - 2D spin-difuzní experimenty



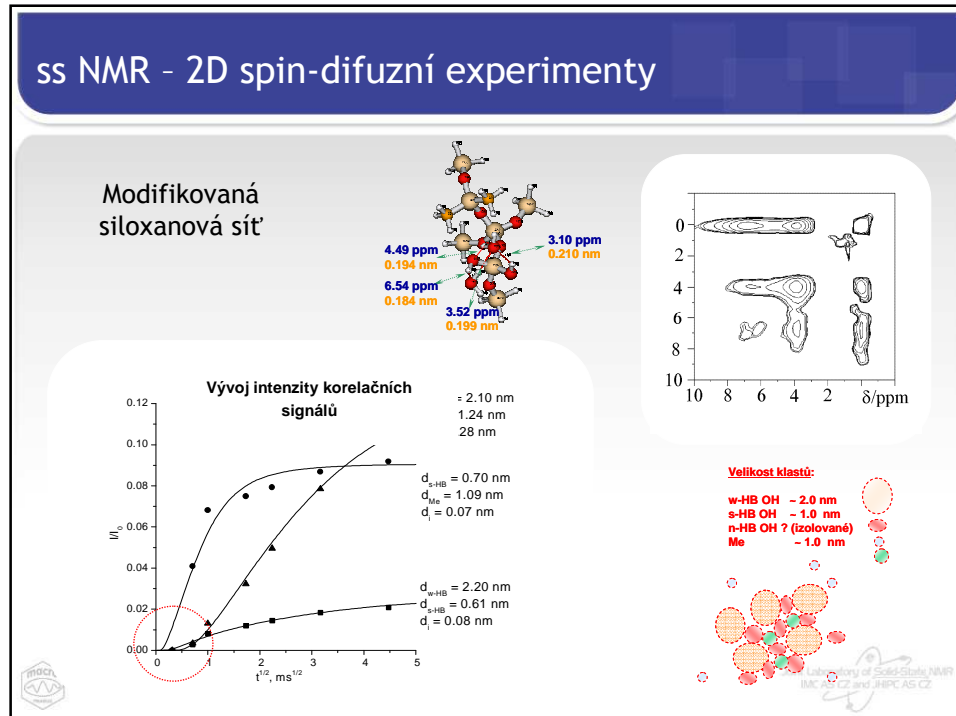
ss NMR - 2D spin-difuzní experimenty



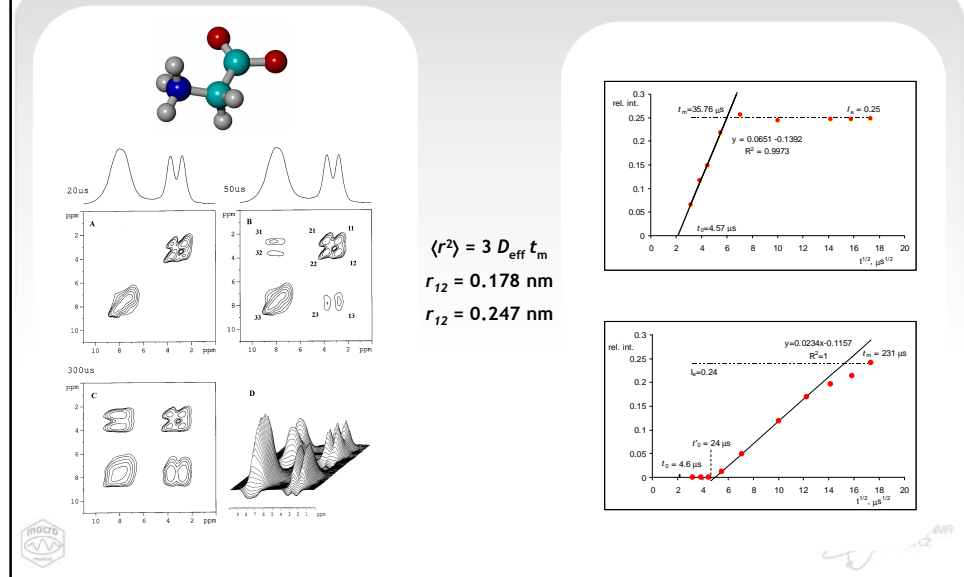
ss NMR - 2D spin-difuzní experimenty



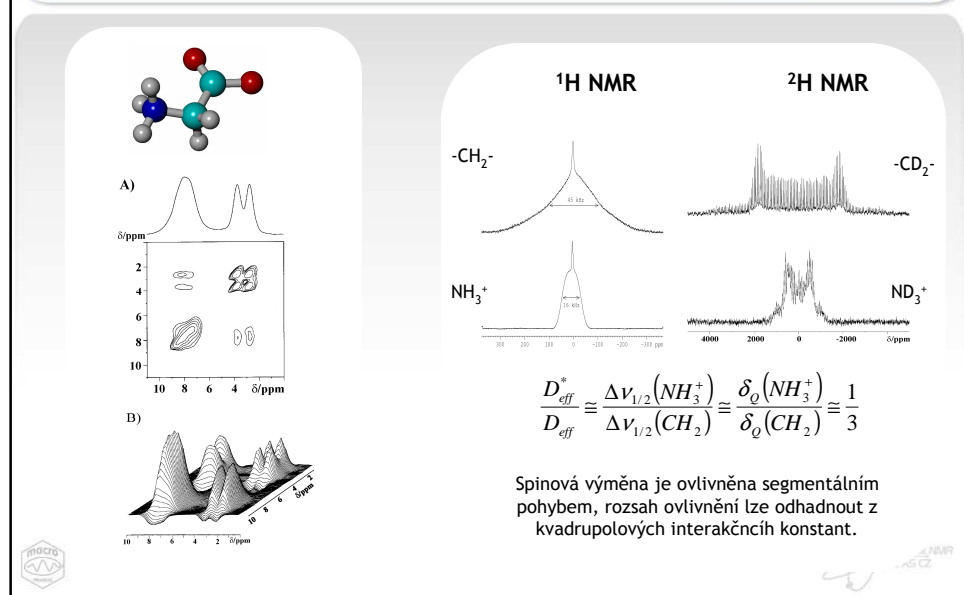
ss NMR - 2D spin-difuzní experimenty



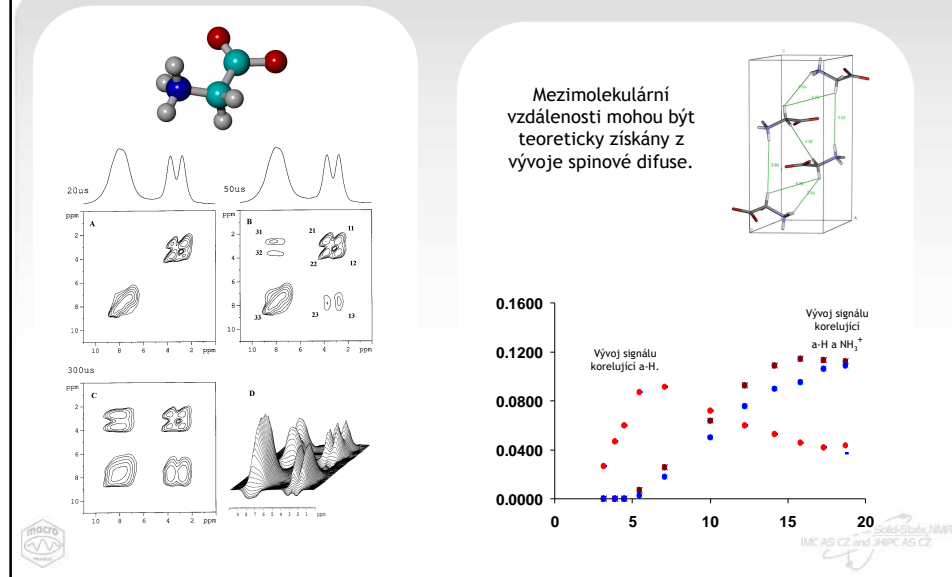
Měření meziatomových vzdáleností



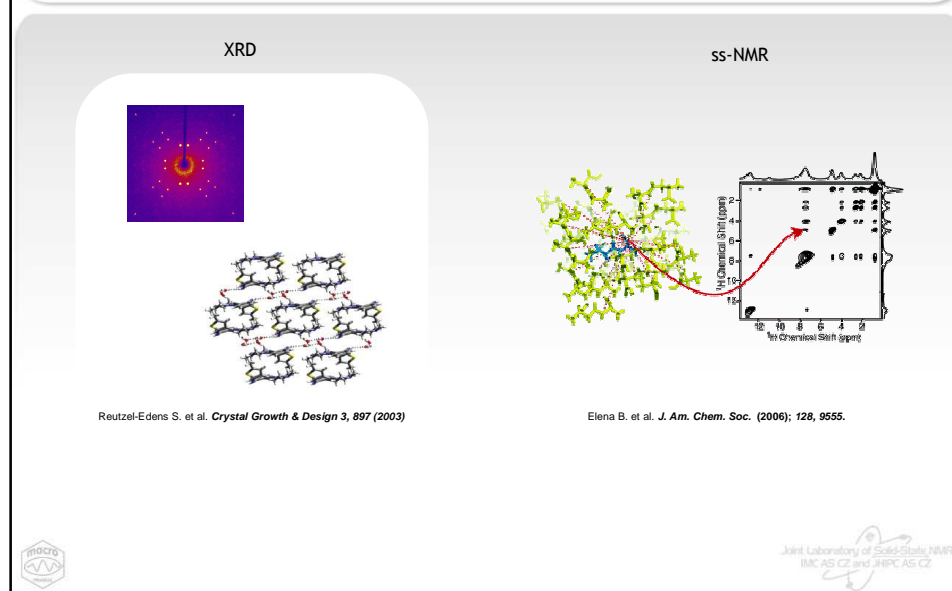
Měření meziatomových vzdáleností



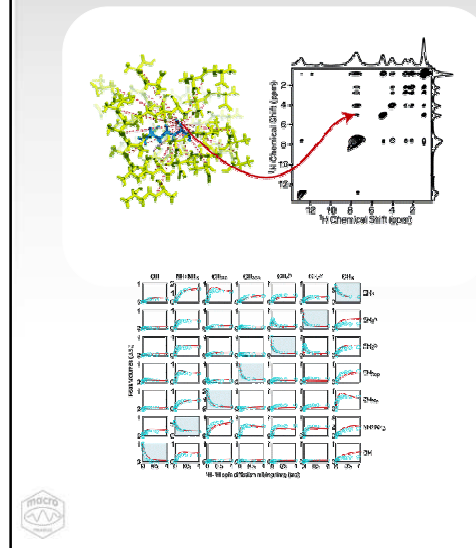
Měření meziatomových vzdáleností



NMR krystalografie - 2006...



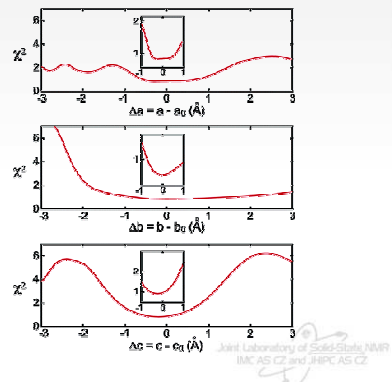
NMR krystalografie - parametry krystalové buňky



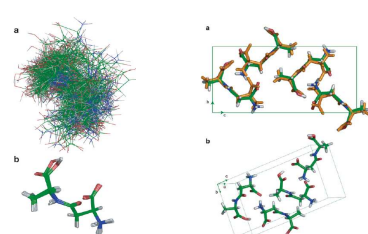
$$\frac{d\mathbf{M}}{dt} = -\mathbf{K}(\mathbf{M} - \mathbf{M}_0) \quad k_{ij} = \sum_{\lambda} \left(\frac{\mu_0 \gamma^2 \hbar}{4\pi} \right)^2 \frac{A}{(r_{ij}^n)_{\lambda}} \quad k_a = -\sum_i k_a$$

$$\mathbf{M}(t, \tau_{SD}) = \exp(-\mathbf{K}\tau_{SD})\mathbf{M}_0(t=0) \quad \mathbf{P}(\tau_{SD}) = \exp(-\mathbf{K}\tau_{SD})\mathbf{M}_0^*$$

n ... Functional dependence on internuclear distance



NMR krystalografie



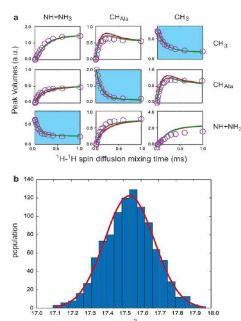
Elena B. et al.
Solid-state ^1H NMR crystallography, *J. Am. Chem. Soc.* (2005); 127(25), 9140.

Elena B. et al.
Molecular Structure Determination in Powders by NMR Crystallography from
Proton Spin Diffusion, *J. Am. Chem. Soc.* (2006); 128, 9555.

$$\frac{d\mathbf{M}}{dt} = -\mathbf{K}(\mathbf{M} - \mathbf{M}_0) \quad k_{ij} = \sum_{\lambda} \left(\frac{\mu_0 \gamma^2 \hbar}{4\pi} \right)^2 \frac{A}{(r_{ij}^n)_{\lambda}} \quad k_a = -\sum_i k_a$$

$$\mathbf{M}(t, \tau_{SD}) = \exp(-\mathbf{K}\tau_{SD})\mathbf{M}_0(t=0) \quad \mathbf{P}(\tau_{SD}) = \exp(-\mathbf{K}\tau_{SD})\mathbf{M}_0^*$$

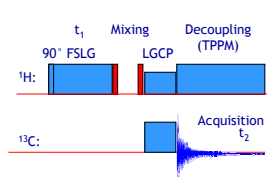
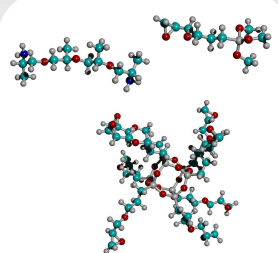
n ... Functional dependence on internuclear distance



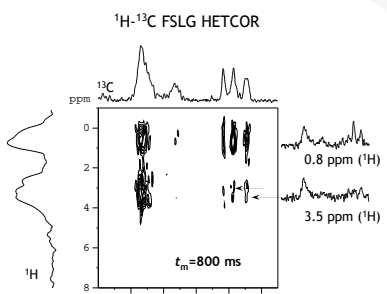
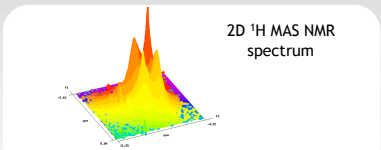
$$\chi^2 = \sum \frac{(calc_i - t_i)^2}{\sigma_i^2}$$

ss NMR - 2D spin-difuzní experimenty

Složitá epoxy-siloxanová síť



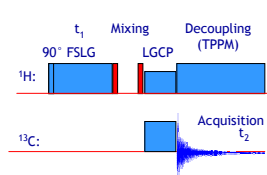
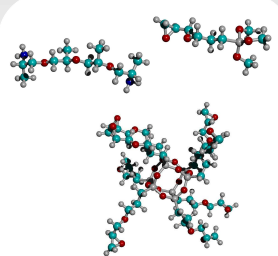
Brus J. et al.,
Self-organization, structure, dynamic properties, and surface morphology of silica/epoxy films as
seen by solid-state NMR, SAXS, and AFM, *Macromolecules* (2004); 37: 1346.



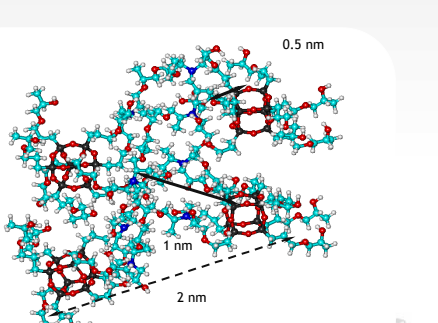
Státní NMR
ČAS CZ

ss NMR - 2D spin-difuzní experimenty

Složitá epoxy-siloxanová síť

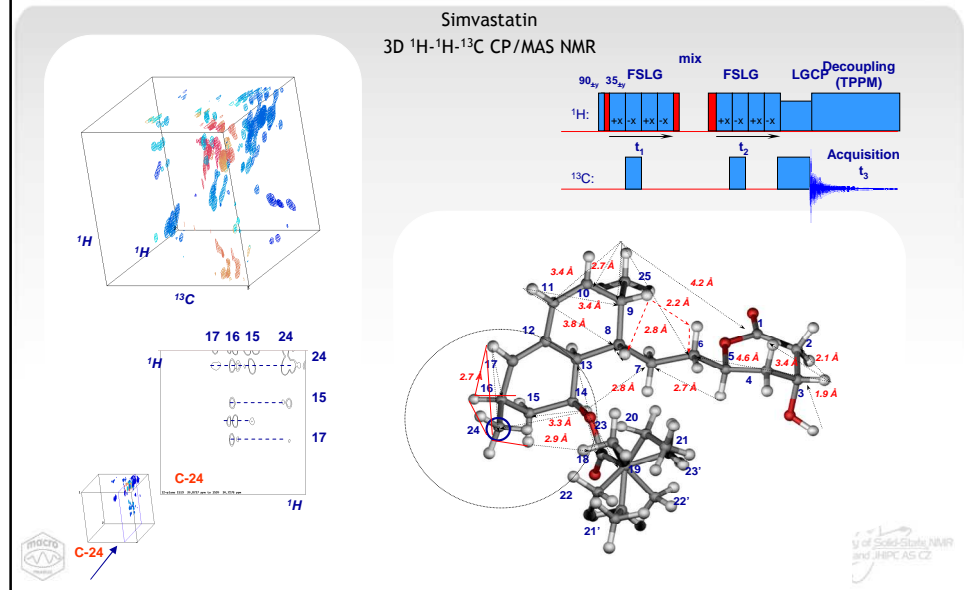


Brus J. et al.,
Self-organization, structure, dynamic properties, and surface morphology of silica/epoxy films as
seen by solid-state NMR, SAXS, and AFM, *Macromolecules* (2004); 37: 1346.

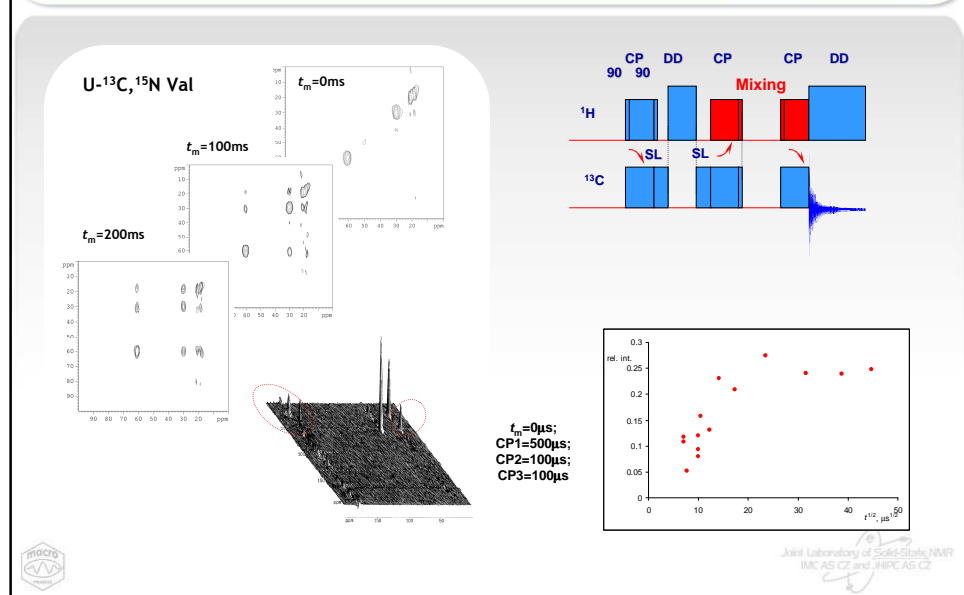


Státní NMR
ČAS CZ

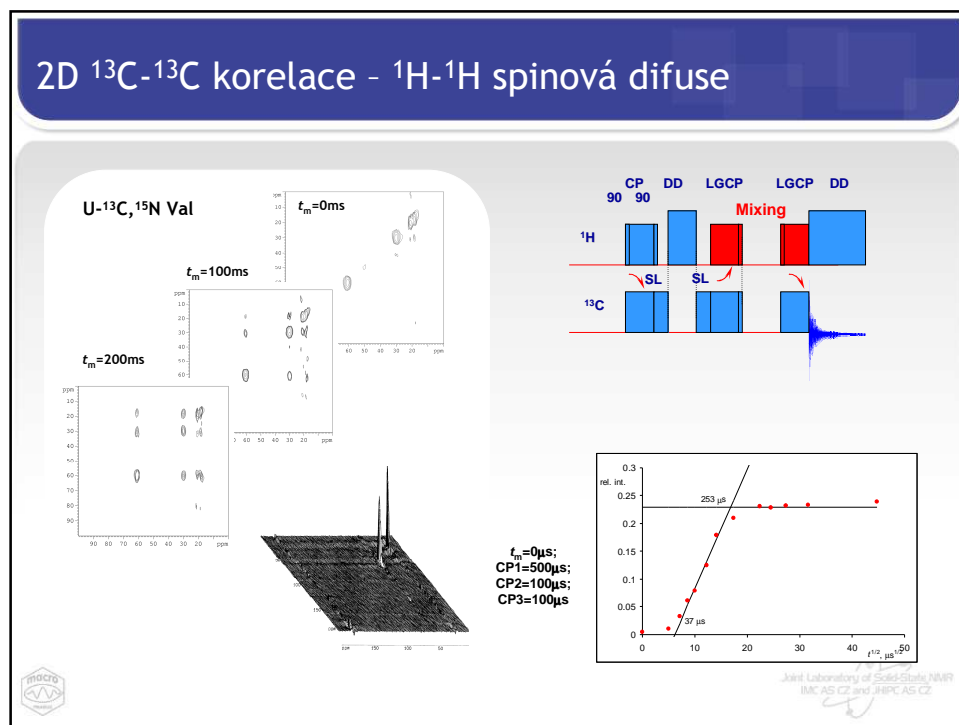
Stanovení struktury - ^1H - ^1H vzdálenost



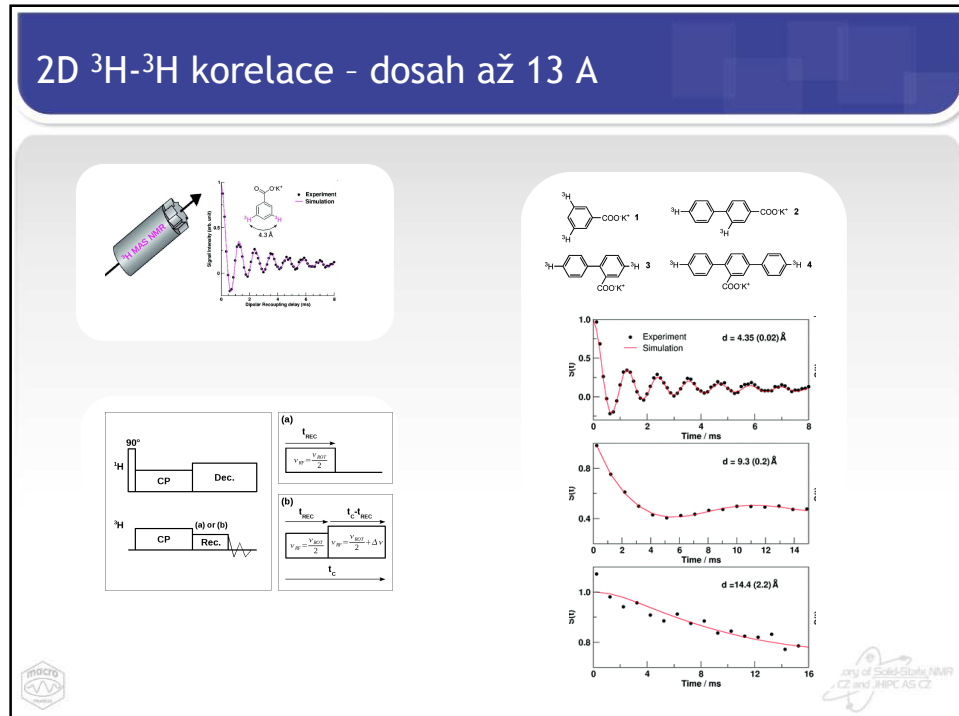
2D ^{13}C - ^{13}C korelace - ^1H - ^1H spinová difuze



2D ^{13}C - ^{13}C korelace - ^1H - ^1H spinová difuse



2D ^3H - ^3H korelace - dosah až 13 Å



Souhrn

Homodekoplink: BR24, FSLG, PMLG

2D spinová difuse

Nepřímá detekce přes ^{13}C

Solid-state NMR and

Spinová difuze a morfologie polymerů

3D korelace měření H-H vzdáleností

macro